

DES中S盒设计准则的分析*

梁 军

(国防科技大学)

【摘要】在被NSA称作S盒“设计准则”的一组已知的S盒特性中，有的比较浅显易懂，有的则不易理解。基于求本探源的思想，本文对这组特性进行了逐条分析，对其各自的理论依据和作用作了一些解释和推断，并且归纳了一种依据“设计准则”设计S盒的方法。

1 引言

作为美国联邦信息处理标准(FIPS)的DES，历经1977年、1983年和1987年的三次公开的论证和审查，将延期五年，使用到1992年。DES如此高的密码强度主要来源于其核心——S盒。长期以来，S盒特性及其设计方法的研究一直受到人们的重视。

被美国安全局(NSA)称作S盒“设计准则”的一组已知的S盒特性可作如下表述。

DES体制中有8个S盒，每个S盒可用一个 4×16 矩阵描述。

P_0 : S盒的每一行是整数0至15的一个置换；

P_1 : 每个S盒的传输函数都不是线性的或仿射的；

P_2 : 对一个S盒而言，输入端每改变1位，至少引起输出端改变2位；

P_3 : $S(x)$ 和 $S(x + 001100)$ 至少有2位不同；

P_4 : 对于任何 e, f , $S(x) \neq S(x + 11ef00)$ ；

P_5 : 当输入端任何一位保持不变时，S盒的设计应保证在其输出端0和1的个数之差达到最小^[1]。

其中，六维矢量 $x = (x_1, x_2, x_3, x_4, x_5, x_6) = (a, b, c, d, e, f)$ 表示一个S盒的六个输入端。S盒的四个输出端则由矢量 $y = (y_1, y_2, y_3, y_4) = (W, X, Y, Z)$ 表示。

下面对上述特性进行逐条分析。

2 P_0 的分析

设集合 $A = \{0, 1, 2, \dots, 15\}$ ， P_0 表明了一种A到A自身的映射 $S: A \rightarrow A$ 。若存在集合B和C，且满足

*本文于1989年12月18日收到。

$$B \supset A \quad (B \neq A),$$

$$C \subset A \quad (C \neq A),$$

则映射 $S' : A \rightarrow B$ 和映射 $S'' : A \rightarrow C$ 将造成码位的多余或者信息的丢失。

虽然, S 是 A 的一个变换, 但其实现过程却不是简单进行的。设 $B = \{0, 1, 2, \dots, 63\}$ 是一个含 64 个元素的集合, 实际的映射过程如图 1 所示。设映射 $\sigma : A \rightarrow B$ 和映射 $\tau : B \rightarrow A$, 则 S 为一个映射的乘积 $S = \tau\sigma$ 。其中, σ 由 a, f 和 P_0 控制, 而 τ 仅由 P_0 决定。显然, τ 不是 σ 的逆映射, S 不是集合 A 的恒等映射, 即 $S \neq 1_A$ 。

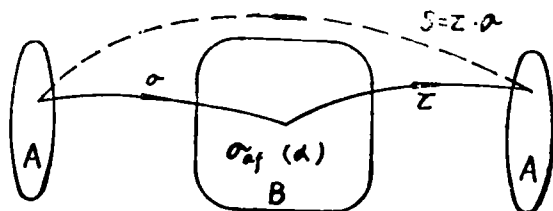


图 1

因为 S 的值域 $R(S) = A$, 所以 S 是满射 (映上的)。因为对于 A 中不同的元素 $i, j (i, j \in A, i \neq j)$, $S(i) \neq S(j)$ 不恒成立, 所以 S 不是单射 (1-1 的)。因此, 在 S 盒的输入端和输出端之间不存在 '1' 对应关系。这一点正是 S 盒的特征, 是 S 盒提供密码强度的基础。

3 P_1 的必要性

可以证明 (证明详见文献 [3]), 超加密算法不可能为违背 P_1 的设计带来多少密码强度。当在 DES 算法中违背 P_1 时, 只要密码分析者掌握了一组明文——密文对, 就可以由此求出密钥, 达到破译的目的。

4 p_2 是非线性强度的保证

P_2 表明 S 盒本身就有完全的错误扩散特性, 而这种特性却与函数 S 的非线性强度有很大的关系。在设计新 S 盒时, 我们发现, 因满足的条件不同, 设计结果 (指非线性强度) 就相应不同 (详见表 1)。

表 1 列出了五种不同的条件及设计结果。现以条件 2、5 为例, 加以说明。

例 1: 将 S_2 盒按条件 2 修改后得 S_2' (设 $x_i = e, y_j = w$), 如图 2 所示。

经化简, 结果如下:

S_2'															
15	7	8	0	6	14	3	11	9	1	2	10	12	4	5	13
3	11	4	12	15	7	8	0	1	9	2	10	6	14	13	5
0	8	7	15	10	2	13	5	3	11	12	4	9	1	6	14
13	5	10	2	3	11	4	12	14	6	7	15	0	8	1	9

图 2

表 1

序号	满 足 条 件	设 计 结 果
1	x每改变1位, 引起y改变1位	线性函数 $s(x) = g(a+b+c+d+e+f)$
2	x某位 x_i 改变, 仅引起y某位 y_j 改变, 其余情况满足 P_2 。 ($i=1, 2, 3, 4, 5, 6$ $j=1, 2, 3, 4$)	部分线性 $y_j = x_i + g_{ij}(x_{k1}, x_{k2}, x_{k3}, x_{k4}, x_{k5})$ $y_t = g_t(x_{k1}, x_{k2}, x_{k3}, x_{k4}, x_{k5})$ ($k \neq i \quad s=1, 2, 3, 4, 5, t \neq j$)
3	x仅在某矢量 x_0 输入时, 满足条件2, 其余情况满足 P_2	非线性函数
4	P_2	非线性函数
5	x每改变1位, 引起y改变3位	线性函数 $s(x) = g(a+b+c+d+e+f)$

$$y_1 = w = e + g_{s1}(a, b, c, d, f).$$

其中

$$\begin{aligned}
 g_{s1}(a, b, c, d, f) &= \overline{a}f + a\overline{f} + \overline{b}c + b\overline{d} + ab\overline{c} + ab\overline{f} + ab\overline{d}f + b\overline{c}df, \\
 y_2 = X = g_2(a, b, c, d, f) &= a + c + \overline{b}d + \overline{b}\overline{c}\overline{f} + ab\overline{c}\overline{f} + abd\overline{f}, \\
 y_3 = Y = g_3(a, b, c, d, f) &= d + \overline{b}c + b\overline{c} + \overline{a}\overline{c} + \overline{a}cdf + abdf, \\
 y_4 = Z = g_4(a, b, c, d, f) &= \overline{d} + bc + a\overline{f} + \overline{a}\overline{b}c\overline{f} + abc\overline{c}.
 \end{aligned}$$

例2: 将 S_1 盒按条件5修改后得 S_1' , 如图3所示。

$$S_1'$$

14	5	3	8	9	2	4	15	0	11	13	6	7	12	10	1
0	11	13	6	7	12	10	1	14	5	3	8	9	2	4	15
9	2	4	15	14	5	3	8	7	12	10	1	0	11	13	6
7	12	10	1	0	11	13	6	9	2	4	15	14	5	3	8

图 3

经过化简, 结果如下:

$$\begin{aligned}
 y_1 = w &= b + d + e + \overline{f}, \\
 y_2 = X &= a + b + c + d + \overline{f}, \\
 y_3 = Y &= a + b + c + e + \overline{f}, \\
 y_4 = Z &= a + c + d + e,
 \end{aligned}$$

显然, 表2中条件1、5背离了 P_1 (尽管条件5满足 P_2); 条件2引起函数表达式简化而导致密码强度下降; 而条件3中的 x_0 又必然是成对出现的, 所以条件4(P_2)比条件3的相关特性更强。密码强度更高。

5 p_3 的分析

因为在 P_3 涉及的矢量(0 0 1 1 0 0)中, a, f 均为0, 所以 P_3 刻划的是一个置换(4×16 矩阵中某一行)内的特性。当初NSA透露的S盒的设计原则是 P_1, P_2, P_6 [2]。后来, E. F. Brickell 等人发现, 在满足 P_0, P_2, P_3 的条件下, S盒便满足 P_6 [1], P_6 成为 P_0, P_2, P_3 的一个推论。由此可见, 在条件 P_0 和 P_2 下, P_3 是S盒满足 P_6 的充分条件。由于 P_6 的基础是统计学, 所以 P_3 就显得很重要了。

在设计新S盒时, 我们发现以下两点仍然值得注意。

(1) 从几何对称性看, 与 P_3 对等的准则可能还有三个:

$P_{3,1}$: $s(x)$ 与 $s(x + 001010)$ 至少有一位不同;

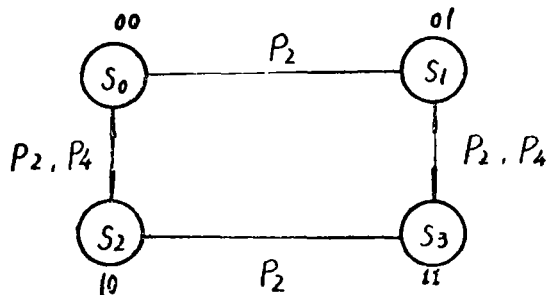
$P_{3,2}$: $s(x)$ 与 $s(x + 010010)$ 至少有一位不同;

$P_{3,3}$: $s(x)$ 与 $s(x + 010100)$ 至少有一位不同。

(2) P_3 和 P_2 之间有某种联系。在S盒中取出一些置换, 当有意改变其中若干位以背离 P_3 时, 发现结果违背 $3P_2$ 。当利用 P_2 加 P_3 设计一个置换时, 很容易设计出满足于 P_2 的置换。因此, P_3 对 P_2 有一定的保障作用。但是在用 P_2 加 P_3 的方法设计一个置换时, 仍然不可避免误入歧途的可能性, 因而不能保证一次设计成功。

6 p_4 的分析

由 P_4 涉及的矢量(1 1 e f 0 0)中的 $a = 1, f = 0$, 可知 P_4 是用来刻划一个S盒内两对不同置换之间关系的。这里, 对的划分是依据 f 进行的。 f 相同的两个置换组成一对, 如图4所示。图中还以准则形式标出了各置换之间的约束关系。



4

NSA声称 P_4 也是S盒“设计准则” P_1, P_2, P_3 的一个推论 [1]。我们发现, 在一个S盒的 4×16 矩阵中调换某些数值的位置以违背 P_4 时, 结果都导致了新设计的失败(违背 P_2)。由此可见, 要在一个 4×16 S盒矩阵中实现 P_2 , 就必须满足 P_4 条件。

7 关于 p_5

P_5 的基础是统计学。 P_5 的作用比较明显, 在此不作赘述。

8 根据“设计准则”设计S盒的方法

由S盒的“设计准则”很容易构成一套设计S盒的方法。由于这种方法是按 4×16

矩阵分行进行设计的, 所以只需两张表(表3和表4)和四个四元卡诺框就够了, 设计方法简述如下。

首先, 我们按 P_2 和 P_3 制出表2, 按 P_4 制出表3。

表2

准则	α (或 β)	0	1	2	3	4	⑤	6	7	8	9	10	11	12	13	⑭	15
P_2	w_1	8	9	10	11	12	⑬	14	15	0	1	2	3	4	5	⑥	7
	w_2	4	5	6	7	0	①	2	3	12	13	14	15	8	9	⑩	11
	w_3	2	3	0	1	6	⑦	4	5	10	11	8	9	14	15	⑫	13
	w_4	1	0	3	2	5	④	7	6	9	8	11	10	13	12	⑮	14
P_3	α'	6	7	4	5	2	3	0	1	14	15	12	13	10	11	⑧	9

表2的第一行是矢量 α (或 β)行。其中, $\alpha = (b c d e)$, $\beta = y = (W X Y Z)$ 。注意, 这里是用十进制数表示的。表2中, 同一列填写的是矢量 w_i ($i = 1, 2, 3, 4$)的十进制表示数。 w_i 与 α (或 β)有且仅有一位(第 i 位)不同。表中 $\alpha' = \alpha + (0 1 1 0)$ 。如果按表2取 6×16 矩阵 P , 则 P 中元素满足

$$\begin{cases} P_{i+1} = P_{i1} + P_{i1} & (i = 1, 2, 3, 4, 5) \\ P_{0,i} = P_0 + P_{1,i} \end{cases}$$

其中, $P_0 = (0 1 1 0)$ 。显然, 在 S 盒输入端每改变一位(第 i 位)(暂不考虑 a, f 位)时, α 就变为 w_i 。下面举例说明表2的用法。

定义映射 $S_i: \alpha \rightarrow \beta$ ($i = 0, 1, 2, 3$ ——由 a, f 决定)。设 $\alpha = 14$, 且在 S_0 下, $\beta = 5$ 。即, $S_0(14) = 5$ 。

因此, 应该在第 i ($i = 0$)个四元卡诺框的第 α ($\alpha = 14$)格内, 填入值 β ($\beta = 5$)。并且根据 P_2 , 在 α 的四个邻格6, 10, 12, 15中, 根据 P_3 在格8中一律禁用值5, 13, 1, 7, 4(参见表2), 结果如图5(a)所示。

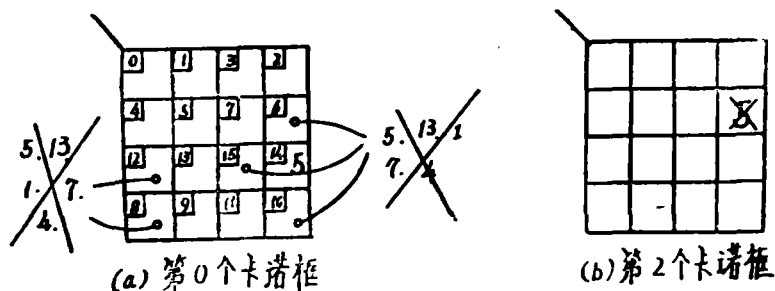


图 5

表3中, 第一列为 a, f 值; 第二列为置换代号; 第三列中 $\alpha'' = \alpha + (1 e f 0)$ 。

表3的用法: 表3将四个置换分为两组。现合在一起叙述如下:

表 3

0 0	S_0	α	0	1	2	3	4	5	6	7	8	9	10	11	12	13	⑭	15
1 0	S_2	α''	8	13	10	15	12	9	⑭	11	0	5	2	7	4	1	6	3
0 1	S_1	α	0	1	2	3	4	5	6	7	8	9	10	11	12	13	14	15
1 1	S_3	α''	10	15	8	13	14	11	12	9	2	7	0	5	6	3	4	1

在 s_0 (s_1) 求得后, 须根据 P_4 考虑其对 s_2 (s_3) 设计的影响。具体地说, 就是在第 2 (3) 个卡诺框的第 α 格内禁用第 0 (1) 个卡诺框的第 α'' 格内的 β 值。例如, 在第 2 个卡诺框的第 6 格内禁用 5。因为 5 是第 α 个卡诺框的第 14 格内的 β 取值 (参见表 3), 如图 5 所示。

注意到 P_0 , P_1 , P_6 在下述设计步骤中已能得到满足, 参考图 4 关系, 现归纳一个 S 盒的设计步骤如下。

- (1) 按 P_2 加 P_3 求 s_0 ;
- (2) 按 P_2 加 P_3 求 s_1 (包括按 P_2 考虑 s_0 的影响);
- (3) 按 P_2 加 P_3 求 s_2 (包括按 P_2 和 P_4 考虑 s_0 的影响);
- (4) 按 P_2 加 P_3 求 s_3 (包括按 P_2 考虑 s_1 、 s_2 的影响, 按 P_4 考虑 s_1 的影响)。

9 结论

由 NSA 透露的 DES 的 S 盒“设计准则” $P_0 \sim P_6$ 是目前设计新 S 盒的主要依据。其中, P_0 , P_1 , P_2 和 P_6 是建立在密码学理论基础之上的, P_3 和 P_4 为设计者的工作带来了方便。但注意到由 $P_0 \sim P_6$ 构成的设计方法仍可能误入设计歧途, 所以可以断言, 就设计方法而言 $P_0 \sim P_6$ 尚未达到完备的地步。关于 P_3 和 P_4 与 P_1 , P_2 和 P_6 的关系至今也尚无数学上的表述。所以, 要做的工作还很多。

10 鸣谢

本文在写作过程中得到汪漱玉副教授、李情与副教授和唐朝京同志的热情帮助, 谨在此表示感谢!

参考文献

- [1] E.F.Brickell, J.H.Moore, M. R. Purtill: "Structure in the S-Boxes of the DES". Advances in Cryptology, Proceedings of CRYPTO 86.
- [2] A. G. Konheim: "Cryptography, A Primer", John Wiley & Sons, Inc, 1981.
- [3] 梁军: "DES中S盒设计准则的分析", 全国信息论与通信理论学术会论文资料, 1989年10月。